



## فصلنامه‌ی اقتصاد مقداری

صفحه‌ی اصلی وب سایت مجله:

[www.jqe.scu.ac.ir](http://www.jqe.scu.ac.ir)

شاپا الکترونیکی: ۲۷۱۷-۴۲۷۱

شاپا چاپ: ۲۰۰-۵۸۵۰



# مقایسه پیش‌بینی نرخ تورم مصرف‌کننده ایران با استفاده از تعداد بسیاری متغیر پیش‌بینی‌کننده

تیمور محمدی <sup>ID</sup>\*, جاوید بهرامی \*\*، فاطمه فهیمی فر \*\*\*

\* دانشیار اقتصاد، گروه اقتصاد نظری، دانشکده اقتصاد، دانشگاه علامه طباطبائی، تهران، ایران (نویسنده مسئول).

\*\* دانشیار اقتصاد، گروه اقتصاد بازارگانی، دانشکده اقتصاد، دانشگاه علامه طباطبائی، تهران، ایران.

\*\*\* دانشجوی دکتری علوم اقتصادی، گروه اقتصاد، دانشکده اقتصاد، دانشگاه علامه طباطبائی، تهران، ایران.

C32, C38, C53, E37, E31: JEL

### اطلاعات مقاله

واژگان کلیدی:

تاریخ دریافت: ۱۷ آذر ۱۳۹۱

پیش‌بینی، نرخ تورم مصرف‌کننده، مدل فضای‌حالات، مدل عاملی، متostegicی الگوی پویا

تاریخ بازنگری: ۱۵ اسفند ۱۳۹۱

آدرس پستی:

تاریخ پذیرش: ۲۴ خرداد ۱۳۹۹

تهران، خیابان شهید بهشتی، نبش احمد قیصر، دانشکده اقتصاد  
دانشگاه علامه طباطبائی

ارتباط با نویسنده (گان) مسئول:

ایمیل: [atmahmadi@gmail.com](mailto:atmahmadi@gmail.com)

[0000-0003-4394-774X](tel:0000-0003-4394-774X) <sup>ID</sup>

اطلاعات تکمیلی:

این مقاله برگفته از پایان نامه‌ی دکتری خانم فاطمه فهیمی فر در رشته علوم اقتصادی به راهنمایی آقای دکتر تیمور محمدی در دانشگاه علامه طباطبائی است.

قدرتانی: از تمامی افراد و موسساتی که در انجام این تحقیق مولف را مساعدت نمودند، قدردانی می‌شود.

تضاد منافع: نویسنده‌گان مقاله اعلام می‌کنند که در انتشار مقاله ارائه شده تضاد منافعی وجود ندارد.

منابع مالی: نویسنده‌ها هیچگونه حمایت مالی برای تحقیق، تألیف و انتشار این مقاله دریافت نکرده‌اند.

### چکیده

یکی از مهم‌ترین مشکلات اقتصادی در ایران طی چند دهه اخیر پدیده‌ی تورم بالا و دو رقمی است، به‌طوری‌که بهبود شرایط ناشی از وجود تورم بالا همواره یکی از اهداف مهم برنامه‌های توسعه کشور بوده است. دستیابی به این هدف مستلزم ایجاد ساز و کاری دقیق و هدفمند از فرآیند سیاستگذاری اقتصادی است که در شکل استاندارد خود، پیش‌بینی، هدف‌گذاری و تحلیل سیاستی را شامل می‌گردد. در این مطالعه از ۱۰۱ متغیر فصلی در دوره زمانی ۱۳۷۹-۹۶ استفاده شده است. متغیرهای مورد استفاده شامل شاخص قیمت مصرف کننده به عنوان متغیر وابسته و ۱۰۷ متغیر مستقل (پیش‌بینی کننده) بوده که در نه بلوک (بلوک قیمتی، بلوک تقاضا، بلوک دولت، بلوک خارجی، بلوک ستاده، بلوک پولی، بلوک مالی، بلوک انرژی و بلوک نیروی کار) به منظور استخراج عوامل گنجانده شده‌اند. از تحلیل مؤلفه‌های اساسی برای استخراج عوامل با استفاده از تمامی متغیرها در هر بلوک استفاده شده است. علاوه‌بر این، وقفه‌های هر مدل با استفاده از  $BIC$  تعیین شده‌اند. همانند مطالعه کوب و کوروپیلیس (۲۰۱۲) پیش‌بینی‌ها با سه افق کوتاه‌مدت ( $h=1$ )، افق میان‌مدت ( $h=4$ ) و افق بلندمدت ( $h=8$ ) در نظر گرفته شده است. هدف اصلی این مطالعه، مقایسه عملکرد پیش‌بینی مدل‌های  $DMS$  و  $DMA$  با  $BVAR$ ,  $BMA$ ,  $TVP$  و  $AR$  می‌باشد. به منظور ارزیابی عملکرد پیش‌بینی از مربع میانگین خطای پیش‌بینی، قدرمطلق میانگین خطای پیش‌بینی، میانگین درصد قدرمطلق خطای پیش‌بینی، تورش خطای پیش‌بینی و واریانس خطای پیش‌بینی و مجموع لگاریتم احتمالات پیش‌بینی استفاده شده است. علاوه بر این، به منظور مقایسه صحت پیش‌بینی از آزمون دیبولد-ماریانو (1995) استفاده شد. نتایج مطالعه نشان می‌دهد که پیش‌بینی مدل‌های گزینشی نمودن ( $DMS$ ) و متغیرگیری الگوی پویا ( $DMA$ ) نسبت به سایر روش‌های پیش‌بینی سنتی دارای عملکرد کارتری برای نرخ تورم ایران هستند. یافته‌ها حاکی از آن است که در تمامی افق‌های پیش‌بینی، بلوک‌های پولی و قیمتی دارای بیشترین تعداد در استفاده از مدل بهینه در طول زمان بوده و کمترین تعداد نیز به بلوک دولت اختصاص داشته است.

### ارجاع به مقاله:

محمدی، تیمور، بهرامی، جاوید و فهیمی فر، فاطمه. (۱۴۰۰). مقایسه پیش‌بینی نرخ تورم مصرف کننده ایران با استفاده از تعداد بسیاری متغیر پیش‌بینی کننده. *فصلنامه اقتصاد مقداری (بررسی‌های اقتصادی سابق)*، ۱۱(۴)، ۱۹۰-۱۵۹.

**doi:** [10.22055/JQE.2020.31882.2190](https://doi.org/10.22055/JQE.2020.31882.2190)



© 2022 Shahid Chamran University of Ahvaz, Ahvaz, Iran. This article is an open access article distributed under the terms and conditions of the Creative Commons Attribution-NonCommercial 4.0 International (CC BY-NC 4.0 license) (<http://creativecommons.org/licenses/by-nc/4.0/>)

## - ۱- مقدمه

پیش‌بینی متغیرها به دو دلیل اساسی دارای اهمیت می‌باشد، اول به علت آینده نامعلوم و دوم به دلیل آنکه بسیاری از تصمیماتی که در حال حاضر گرفته می‌شود، تأثیر کامل شان در آینده اتفاق می‌افتد. در نتیجه، پیش‌بینی‌های دقیق از آینده، منجر به بهبود کارایی فرآیند تصمیم‌گیری و سیاست‌گذاری می‌شود (Holden, Peel & Thompson, 1999). دولت، صنعت و عوامل مالی نیازمند اطلاع از روند حرکتی آینده متغیرهای کلان اقتصادی و در نتیجه پیش‌بینی آنها می‌باشند. پیش‌بینی‌های اقتصادی می‌توانند به عوامل اقتصادی در بخش خصوصی به عنوان مثال تصمیم یک بنگاه برای سرمایه‌گذاری یا تمايل خانوار برای پیش‌بینی درآمد آینده‌اش کمک نمایند (Carnot, Koen & Tissot, 2005). همچنین دولتها به منظور اطلاع از پیامدهای سیاست‌گذاری‌های کلان خود و ایجاد ثبات اقتصاد کلان، به پیش‌بینی نرخ رشد اقتصادی داخلی و جهانی، نرخ تورم، نیروی کار، سرمایه‌گذاری و نرخ ارز می‌پردازند (Holden, Peel & Thompson, 1999).

پیش‌بینی تورم برای خانوارها، تجار و سیاست‌گذاران بسیار با اهمیت است. تفاوت مهمی بین پیش‌بینی تورم توسط بانک مرکزی و پیش‌بینی تورم توسط عموم افراد جامعه وجود دارد. برخلاف افراد جامعه، بانک مرکزی بر سیاست پولی کنترل دارد که به نوبه خود بر تورم تأثیر می‌گذارد (Elliott & Timmermann, 2013). دولت و بانک مرکزی، سیاست‌های مالی و پولی را بر اساس تغییرات آتی کوتاه‌مدت و بلندمدت تورم بنا می‌کنند. پیش‌بینی تورم با خطای کم، یکی از رمزهای موفقیت این سیاست‌ها به شمار می‌آید. بنابراین، دقت پیش‌بینی در رابطه با این شاخص از حساسیت زیادی برخوردار است. به همین دلیل، یک روش پیش‌بینی قابل اعتماد به شدت مورد نیاز است، اما بسیاری از مدل‌های موجود در این زمینه با کاستی‌هایی همراه هستند (Barsoum & Stankiewicz, 2013). دستیابی به روشی که بتواند پیش‌بینی دقیقی از تورم ارائه دهد، به اصلاح و بهینه‌کردن مدیریت کلان اقتصاد در کشورها از جمله ایران کمک شایان ذکری خواهد کرد و کارایی تصمیم‌سازی و سیاست‌گذاری را ارتقا خواهد بخشید. از این رو، این مقاله به دنبال انتخاب مدلی از میان مدل‌های مختلف پیش‌بینی است که بتواند پیش‌بینی دقیقی از تورم در ایران را ارائه دهد.

## -۲ مبانی نظری و پیشینه موضوع

پیش‌بینی‌های مدل‌محور بر اساس قاعده یا مدلی بوجود می‌آیند که روابط بین متغیرهای موردنظر را مطرح می‌کنند. پیش‌بینی‌های مدل‌محور اقتصادی در اوخر دهه ۱۹۳۰ و دهه ۱۹۴۰ پدیدار شدند (Tinbergen, 1939). هدف از پیش‌بینی در این دوران آزمون نمودن ارتباط تئوری‌های اقتصادی بهویژه در سنتز کیزی، با استفاده از داده‌های سیستم حساب‌های ملی بود.

پیش‌بینی رفتار تورم، روشی رایج برای اقتصادهای دارای رژیم هدف‌گذاری تورم<sup>۱</sup> است. سیاست‌های پولی بر محیط اقتصاد کلان با تأخیر اثر می‌گذارند، اما بانک مرکزی به منظور حفظ ثبات قیمت‌ها باید همه جوانب این سیاست‌ها را در نظر بگیرد. از آنجایی که قراردادهای اسمی بلندمدت (مانند قراردادهای کار و وام مسکن) و چسبندگی قیمت از جمله ویژگی‌های معمول در اقتصاد مدرن هستند، بنابراین پیش‌بینی تورم نیز برای تصمیم‌گیری بخش خصوصی بسیار مهم است (Ferreira & Palma, 2015). با توجه به اینکه پیش‌بینی تورم یکی از مطالعات بسیار مهم در اقتصاد کلان محسوب می‌شود، روش‌های مختلفی در این خصوص ارائه شده است. شاید متداول‌ترین مطالعات تجربی در این خصوص، بر پایه منحنی فیلیپس باشد. برای نمونه آنگ<sup>۲</sup> و همکاران (۲۰۰۷)، اتکینسون و اوهانیان<sup>۳</sup> (۲۰۱۰)، گرون و همکاران<sup>۴</sup> (۲۰۰۸)، استاک و واتسون<sup>۵</sup> (۱۹۹۹، ۲۰۰۸) در این زمینه از منحنی فیلیپس استفاده نموده‌اند. هر چند جزئیات این مطالعات متفاوت است، اما چارچوب کلی آنها شامل یک متغیر وابسته مانند تورم (یا تغییرات تورم) و متغیرهای توضیحی از جمله وقفه‌های تورم، نرخ بیکاری و سایر متغیرهای پیش‌بینی‌کننده بوده است. در این راستا، روش‌های مبتنی بر رگرسیون بازگشتی تا حدودی موفق بوده‌اند (Koop & Korobilis, 2012). عملکرد محدود منحنی فیلیپس می‌تواند با بی‌ثباتی ذاتی رابطه میان Cechetti, 1995; Dupasquier & Ricketts, 1998; Lansing, 2002 تورم و بیکاری از طریق زمان توضیح داده شود.

<sup>1</sup> inflation targeting regime

<sup>2</sup> Ang

<sup>3</sup> Atkeson and Ohanian

<sup>4</sup> Groen

<sup>5</sup> Stock and Watson

با درنظرگرفتن ادبیات پیش‌بینی در خصوص متغیر کلیدی تورم در دوره‌های زمانی مختلف، سری‌های تورم با استفاده از پراکسی‌های مختلف (مانند تورم قیمت مصرف‌کننده، شاخص ضمنی تولید ناخالص داخلی و شاخص ضمنی مخارج مصرفی شخصی) به مدل‌های ارزیابی مقایسه‌ای<sup>۶</sup> مختلفی متکی هستند. تعداد زیادی از مطالعات تأکید می‌کنند که عملکرد پیش‌بینی یک مدل خاص به دوره نمونه و افق پیش‌بینی، حساس است. عملکرد مرحله‌ای مدل‌های تورم می‌تواند به بی‌ثباتی میان تورم و متغیرهای پیش‌بینی کننده آن ارتباط داشته باشد (Atkeson & Ohanian, 2001). این بی‌ثباتی نشان می‌دهد که مدل‌های تورم وابسته به وجود شکست‌های ساختاری هستند. در واقع بسیاری از مقالات (Fisher, Liu & Zhou., 2002; Canova, 2007) مطرح می‌کنند که پارامترها در رابطه بین تورم و متغیرهای پیش‌بینی کننده آن بی‌ثبات<sup>۷</sup> هستند و ممکن است در طول زمان تغییر کنند. علاوه بر این، مطالعات مختلفی (Cechetti, Chu & Steindel, 2000; Stock & Watson, 2003; Brave & Fisher, 2004; Stock & Watson, 2008) نشان دادند که متغیرهای پیش‌بینی کننده تورم ممکن است در برخی دوره‌های زمانی به تورم مرتبط باشند یا نباشند.

سه موضوع در هنگام استفاده از روش‌های پیش‌بینی تورم وجود دارد. اول اینکه ضرایب متغیرهای پیش‌بینی کننده تورم می‌توانند در طول زمان تغییر کنند. به‌گونه‌ای که معمولاً تصور می‌شود شب منحنی فیلیپس در طول زمان تغییر می‌کند. اگر چنین باشد؛ ضرایب متغیرهای پیش‌بینی کننده‌ای که این شب را تعیین می‌کنند، تغییر خواهد کرد. در سطحی وسیع‌تر، ادبیات گسترده‌ای در اقتصاد کلان وجود دارد که شکست‌های ساختاری و انواع دیگری از تغییر پارامتر را در بسیاری از متغیرهای سری زمانی مطرح کرده‌اند (Stock & Watson, 1996). دوم اینکه تعداد متغیرهای پیش‌بینی کننده بالقوه می‌تواند زیاد باشد. گرون و همکاران<sup>۸</sup> (۲۰۱۰) ده متغیر پیش‌بینی کننده تورم را در نظر گرفتند. محققانی که با مدل‌های عاملی کار می‌کنند، مانند استاک و واتسون (1999) به طور معمول تعداد بیشتری از این متغیرها را در نظر می‌گیرند. وجود تعداد بسیاری از متغیرهای پیش‌بینی کننده تورم منجر به تعداد زیادی از مدل‌ها می‌شود. اگر  $m$  پیش‌بینی کننده بالقوه وجود داشته باشد،

<sup>6</sup> benchmark

<sup>7</sup> unstable

<sup>8</sup> Groen

محقق <sup>2m</sup> مدل دارد. این امر مشکلات آماری اساسی را برای انتخاب مدل ایجاد می‌کند. مطالعات آوراموو (۲۰۰۲)، کرمز (۲۰۰۲) و کوپ و پوتر (۲۰۰۴) نمونه‌هایی از این مطالعات در اقتصاد کلان و امور مالی هستند (Avramov, 2002; Cremers, 2002; Koop & Potter, 2004).

سوم اینکه مدل مربوط به پیش‌بینی می‌تواند بطور بالقوه‌ای در طول زمان تغییر کند. متغیرهای پیش‌بینی کننده تورم ممکن است در سیکل‌های رکود و رونق متفاوت باشند. به عبارتی دیگر، برخی از متغیرها ممکن است در دوران رکود به خوبی تورم را پیش‌بینی کنند و در دوران رونق از عملکرد مناسبی برای پیش‌بینی برخوردار نباشند. علاوه بر این، استاک و واتسون (۲۰۰۸) دریافتند که پیش‌بینی‌های منحنی فیلیپس در برخی از دوره‌ها به خوبی عمل می‌کنند، اما در دوره‌های دیگر استراتژی‌های پیش‌بینی تک متغیره، بهتر عمل می‌کنند. پسران و تیمرمن (۲۰۰۵) در مطالعه‌ای نشان دادند که متغیرها به صورت کارا و مفیدی برای پیش‌بینی بازده سهام در طول زمان تغییر می‌کنند. چنین استدلال‌هایی نشان می‌دهد که مدل پیش‌بینی در طول زمان در حال تغییر است. لازم به ذکر است، این نوع موضوعات بسیار پیچیده می‌باشد و اقتصادسنجی دشواری را می‌طلبد (Pesaran & Timmermann, 2005).

علاوه بر این، مدل‌های پارامتر متغیر در طول زمان (TVP)، روش‌های فضای حالت (مانند فیلتر کالمون) را بکار می‌گیرند که این امر عموماً در تحقیقات تجربی اقتصاد کلان در راستای تجزیه و تحلیل ساختاری و پیش‌بینی استفاده می‌شود.

چنانچه مجموعه بزرگی از داده‌ها به منظور پیش‌بینی متغیرهای کلان اقتصادی استفاده شود، مدل‌های TVP تمایل به بیش برآشی<sup>9</sup> در داخل نمونه دارند، لذا عملکرد پیش‌بینی ضعیفی در خارج از نمونه خواهد داشت. برای تصحیح این کاستی‌ها در مدل‌های TVP، از الگوی متوسطگیری پویا (DMA) و برای الگوی گزینشی نمودن الگوی پویا (DMS) استفاده شده است (Gupta, Hammoudeh, Kim & Simo-Kengne, 2014). در مطالعه کوپ و کوروبلیس (۲۰۱۲) از رویکرد DMA/DMS برای پیش‌بینی تورم در کشور آمریکا بکار برده شده است. از این رویکرد برای پیش‌بینی قیمت‌های آینده بازارهای کربنی Buncic & Frey, 2012; De Bruyn, Gupta & Tole, 2012) (Koop & Frey, 2012; De Bruyn, Gupta & Tole, 2012)، نرخ‌های ارز (Koop & Tole, 2012).

<sup>9</sup> over-fit

Nicoletti & Passaro, 2013) و پویایی‌های رشد تولید ناخالص داخلی van Eyden, 2013 (2012) نیز استفاده شده‌است (Filippo, 2015). اما به طور کلی مزیت اصلی DMA/DMS در مورد مدلسازی آن است که این مدل‌ها اجازه می‌دهند ضرایب در طول زمان تغییر کنند همچنین اجازه می‌دهند که متغیرهای پیش‌بینی کننده مورد استفاده در پیش‌بینی و مدل‌ها در طول زمان تغییر کنند.

### -۳- روش‌شناسی تحقیق

مدل‌های پارامتر متغیر در طول زمان معمولاً با روش‌های فضا-حالت مانند فیلتر کالمون تخمین زده می‌شوند. مدل‌های فضا-حالت با مدل‌های سری زمانی پویایی که شامل متغیرهای غیرقابل مشاهده هستند، سرو کار دارد (Kim & Nelson, 1998). ابزار اصلی به منظور برآورد مدل‌های فضا-حالت استاندارد، فیلتر کالمون یک فرآیند بازگشتی برای محاسبه تخمین زننده‌های مؤلفه‌های غیرقابل مشاهده یا بردار حالت در زمان  $t$  است که بر اساس تمام اطلاعات موجود تا زمان  $t$  است. مدل‌های فضا-حالت از دو معادله اندازه‌گیری و معادله وضعیت تشکیل شده‌اند. مدل‌های فضا-حالت می‌توانند به صورت زیر بیان شوند:

$$y_t = Z_t \theta_t + \varepsilon_t \quad (1)$$

$$\theta_{t+1} = \theta_t + \eta_t, \quad (2)$$

به‌طوری‌که معادله (1) معادله اندازه‌گیری و معادله (2) معادله وضعیت می‌باشند. متغیر وابسته پیش‌بینی است،  $Z_t = [1, z_{1,t-1}, z_{2,t-1}, \dots, z_{m,t-1}]$  یک بردار  $(1 \times m)$  از مشاهدات متغیرهای توضیحی (پیش‌بینی‌کننده‌ها) است که برای پیش‌بینی  $y_t$  مورد استفاده قرار می‌گیرند.  $\theta_t = [\theta_{0,t-1}, \theta_{1,t-1}, \theta_{2,t-1}, \dots, \theta_{m,t-1}]$  یک بردار  $(m \times 1)$  از ضرایب (وضعیت) است.  $\varepsilon_t$  و  $\eta_t$  جملات خطای دارای توزیع نرمال و مستقل هستند به‌طوری‌که  $\varepsilon_t \sim N(0, H_t)$  و  $\eta_t \sim N(0, Q_t)$  است و به ترتیب

<sup>10</sup>. Dynamic Model Selection

ماتریس واریانس و کوواریانس معادله اندازه‌گیری و وضعیت هستند. معادله (۱) رابطه میان متغیرهای قابل مشاهده (متغیرهای برونز) و متغیرهای وضعیت غیرقابل مشاهده را نشان می‌دهد. معادله (۲) پویایی‌های متغیرهای وضعیت را بیان می‌کند. فرض می‌شود که متغیرهای وضعیت از گام تصادفی پیروی می‌کنند. مدل‌های (۱) و (۲) اجازه می‌دهند که ضرایب در طول زمان تغییر کنند. ولیکن این مدل اجازه نمی‌دهد که متغیرهای پیش‌بینی‌کننده در طول زمان تغییر کنند. راه حل این مسئله، استفاده از رویکرد DMA است. مجموعه‌ای از  $K$  مدل که شامل زیرمجموعه‌های مختلفی از متغیرهای پیش‌بینی‌کننده  $Z_t$  است را در نظر بگیرید.

$$y_t = Z_t^{(k)} \theta_t^{(k)} + \varepsilon_t^{(k)} \quad (۳)$$

$$\theta_{t+1}^{(k)} = \theta_t^{(k)} + \eta_t^{(k)}, \quad (۴)$$

که در آن  $L_t \in \{1, 2, \dots, K\}$  است.  $\eta_t^{(k)} \sim N(0, Q_t^{(k)})$  و  $\varepsilon_t^{(k)} \sim N(0, H_t^{(k)})$  نشان‌دهنده تمام مدل‌های ممکن در هر نقطه از زمان است.  $L_t = k$  به معنی آن است که مدل  $k$  انتخاب شده است. در DMA، وزن‌های استفاده شده در روش مدل میانگین‌گیری در طول زمان می‌توانند تغییر کنند و در DMS، مدل انتخاب شده در طول زمان می‌تواند تغییر کند. در هر زمان  $t = 1, 2, \dots, T$ ، DMA و DMS با محاسبه  $\Pr(L_t = k | Y^{t-1})$  برای  $k = 1, \dots, K$  به‌طوری‌که  $Y^{t-1} = \{y_1, \dots, y_{t-1}\}$  است، قابل اجرا می‌باشند (محاسبه احتمال اینکه مدل  $k$  باید برای پیش‌بینی  $y_t$  با استفاده از اطلاعات زمان  $t-1$  استفاده شود). احتمالات این چارچوب به صورت  $\pi_{t|t-1,k} = \Pr(L_t = k | Y^{t-1})$  نشان‌داده می‌شود. ایده مرتبط با DMS، انتخاب مدلی با بالاترین احتمال  $(\pi_{t|t-1,k})$  در هر دوره زمانی است، در حالی‌که DMA احتمالات  $\pi_{t|t-1,k}$  برای  $k = 1, \dots, K$  را به عنوان وزن‌های مدل برای

محاسبه میانگینی از K مدل پیش‌بینی استفاده می‌کند<sup>۱۱</sup> (Cogley & Sargent, 2005; Cogley, Morozov & Sargent, 2005; Primiceri, 2005).

مدل‌های DMA و DMS نسبت به سایر مدل‌های پیش‌بینی دارای مزیت‌هایی است از جمله اینکه این مدل‌ها اجازه می‌دهند ضرایب در طول زمان تغییر کنند همچنین اجازه می‌دهند که متغیرهای پیش‌بینی کننده مورد استفاده در پیش‌بینی و مدل‌ها در طول زمان تغییر کنند. یکی از محدودیت‌های این رویکرد آن است که مدل‌ها می‌توانند پارامترهای بسیار زیادی داشته باشند که برآورد و پیش‌بینی آنها زمان بسیاری را صرف می‌کند. در حقیقت، با  $m$  متغیر پیش‌بینی کننده بالقوه، DMA/DMS به تعداد  $2^m$  مدل در هر نقطه از زمان برآورد می‌شود. اگر مدل‌های پیش‌بینی متفاوت در هر نقطه از زمان بکارگرفته شوند، تعداد مدل‌های ترکیبی که باید برای پیش‌بینی برآورد شود در زمان  $t$  برابر با  $2^{mt}$  خواهد شد. به منظور مقابله با این مشکل، رافتري و همکاران<sup>۱۲</sup> (۲۰۰۷، ۲۰۱۰) تقریب‌هایی مبنی بر روش‌های فضا-حالت با فیلتر کالمن پیشنهاد دادند. این تقریب‌ها شامل دو پارامتر  $\lambda$  و  $\alpha$  هستند که به عنوان عوامل فراموش‌شده<sup>۱۳</sup> مطرح می‌باشند. پارامترهای  $\lambda$  و  $\alpha$  اعدادی کوچک‌تر اما نزدیک به یک هستند. عامل فراموش‌شده  $\lambda$  در معادله وضعیت برای پارامترها و عامل فراموش‌شده  $\alpha$  در معادله وضعیت برای مدل‌ها استفاده شده است. فیلتر کالمن شامل دو مرحله پیش‌بینی<sup>۱۴</sup> و مرحله بهروزرسانی می‌باشد.

یک جنبه از الگوریتم رافتري و همکاران (۲۰۰۷) عدم نیاز به استفاده از زنجیره مارکف مونت کارلو (MCMC) در هر مدل انفرادی است. آنها این کار را برای دستیابی به تخمین جایگزینی<sup>۱۵</sup> از  $H_i$  و فرض  $\sum_i H_i = Q_i$  انجام می‌دهند، به‌طوری‌که  $1 \leq \lambda < 0$  و ماتریس کوواریانس خطای تخمین در فیلتر کالمن است. به‌طور کلی، می‌توان  $\pi_{t|t-1,k}$  را در یک روش تکرارشونده بدست آورد. بنابراین:

<sup>۱۱</sup>. رافتري، کارني و اتلر (۲۰۱۰) بر DMA در یک برنامه صنعتی تمرکز کردند، در حالی که کوب و کوروپیلیس (۲۰۱۲) هر دوی روش‌های DMA و DMS را برای پیش‌بینی تورم استفاده نموده‌اند.

<sup>۱۲</sup>:Raftery

<sup>۱۳</sup> forgetting factors

<sup>۱۴</sup> prediction step

<sup>۱۵</sup> plug-in

$$\pi_{t-1|t-1,k} = \frac{\pi_{t-1|t-2,k} p_k(y_{t-1} | y^{t-2})}{\sum_{s=1}^K \pi_{t-1|t-2,l} p_s(y_{t-1} | y^{t-2})} \quad (\Delta)$$

به طوری که  $p_s(y_{t-1} | y^{t-2})$  چگالی پیش‌بینی کننده برای مدل  $s$  در  $y_{t-1}$  است. از سوی دیگر:

$$\pi_{t|t-1,k} = \frac{\pi_{t-1|t-1,k}^\alpha}{\sum_{l=1}^K \pi_{t-1|t-1,l}^\alpha} \quad (\delta)$$

به طوری که  $\alpha < 1$  یکی دیگر از عوامل فراموش شده است که تفسیر آن مشابه است، اما در آن بجای تکامل پارامترها، تکامل مدل‌ها مطرح است.

زمانی که داده‌ها در فرکانس نسبتاً بالایی هستند، می‌توان انتظار داشت که پارامترها و متغیرهای پیش‌بینی کننده، بطور نسبی مکرراً تغییر یابند. این امر به معنی آن است که ممکن است مقادیر  $\alpha, \lambda$  نزدیک به <sup>۱۶</sup><sup>۱</sup> پیش‌بینی‌های بهینه‌ای نداشته باشند.

با توجه به اینکه هیچ آگاهی در ادبیات در خصوص بهترین مقادیر  $\alpha$  و  $\lambda$  وجود ندارد، رافتری و همکاران (۲۰۱۰)، مقادیر ۹۹٪ را پیشنهاد داده‌اند. علاوه‌بر این، کوب و کوروپیلیس (۲۰۱۲، ۲۰۱۱) بین مقادیر ۹۳٪ و ۱ بررسی‌هایی را به منظور یافتن بهترین مقادیر Naser انجام دادند و بهترین مقدار را برای پیش‌بینی تورم آمریکا ۹۹٪ در نظر گرفته‌اند (Naser & Alaali, 2015). گراسی و سانتووسی دی ماجیستربیس<sup>۱۷</sup> (۲۰۱۵) مقادیر  $\alpha$  و  $\lambda$  را بر مبنای عملکرد پیش‌بینی انتخاب نموده‌اند، اما این مقادیر نتایج DMA را تورش‌دار می‌کند و بنابراین فرآیند خارج از نمونه‌ای پیش‌بینی نامعتبر می‌شود (Koop & Korobilis, 2011). بنابراین با استفاده از مجموعه‌ای از مقادیر  $\alpha, \lambda$  در یک نمونه از آموزش‌های اویله پیش‌بینی صورت می‌گیرد و سپس مقادیر ترکیبی بهینه انتخاب می‌شوند که برخی از آنها

<sup>۱۶</sup> به عنوان مثال، در مقاله کوب و کوروپیلیس (۲۰۰۹) مقدار پیش‌فرض  $\alpha = \lambda = 0.99$  برای داده‌های کلان فصلی پیشنهاد شده است.

<sup>۱۷</sup>. Grassi & Santucci de Magistris

عملکرد معیار آماری را به حداقل می‌رساند (Bork & Møller, 2014; Belmonte & Koop, 2014; Aye, Gupta, Hammoudeh & Kim, 2015).

#### -۴- داده‌ها و ساختار مدل

در این قسمت به بررسی داده‌ها و ساختار مدل مورد مطالعه پرداخته می‌شود. در این مقاله از ۱۰۸ متغیر فصلی در دوره زمانی ۱۳۶۹-۱۳۹۶ استفاده شده‌است. به منظور جمع‌آوری داده‌ها از بانک داده‌های بانک مرکزی جمهوری اسلامی ایران، صندوق بین‌المللی پول، وزارت صنعت، معدن و تجارت، سازمان بورس و اوراق بهادار، مرکز آمار ایران، بانک جهانی و سازمان بین‌المللی کار استفاده شده است. متغیرهای مورد استفاده شامل شاخص قیمت مصرف‌کننده به عنوان متغیر وابسته و ۱۰۷ متغیر مستقل (پیش‌بینی‌کننده) بوده که در نه بلوک به منظور استخراج عوامل گنجانده شده‌اند. به طوری که، ۱) بلوک قیمتی، شامل مقادیر مختلفی از شاخص قیمت تولیدکننده و شاخص‌های ضمنی و دستمزد می‌باشد (شامل ۱۳ متغیر). ۲) بلوک تقاضا، شامل اجزای تولید ناخالص داخلی از سمت تقاضا و برخی دیگر از شاخص‌های مربوط به موجودی سرمایه می‌باشد (شامل ۷ متغیر). ۳) بلوک دولت، شامل انواع درآمدها و هزینه‌های دولتی می‌باشد (شامل ۱۳ متغیر). ۴) بلوک خارجی، شامل صادرات، واردات، انواع نرخ ارز و همین طور نرخ تورم و نرخ ارز کشورهای چین و آلمان (به عنوان بزرگترین شرکای تجاری ایران) می‌باشد (شامل ۱۷ متغیر). ۵) در بلوک ستاده، از انواع مختلفی از متغیرهای تولیدی استفاده شده است (شامل ۱۴ متغیر). ۶) بلوک پولی، شامل اجزای نقدینگی و پایه پولی می‌باشد (شامل ۲۱ متغیر). ۷) در بلوک مالی، از متغیرهای بازار سرمایه شامل بورس و بیمه استفاده شده است (شامل ۶ متغیر). ۸) بلوک انرژی، که شامل متغیرهای مختلف مرتبط با نفت خام و برق و انرژی می‌باشد (شامل ۷ متغیر) و ۹) بلوک نیروی کار، که شامل متغیرهای مختلف بیکاری و اشتغال و بهره‌وری می‌باشد (شامل ۹ متغیر).

تمام متغیرهای این مقاله ابتدا با استفاده از X-13 TRAMO یا STL فصلی‌زدایی شده‌اند. با توجه به اینکه متغیرهای پیش‌بینی‌کننده در رویکرد DMA/DMS باید مانا باشند، به بررسی ایستایی متغیرها با استفاده از آزمون‌های ریشه واحد بدون تناب و فصلی (آزمون‌های دیکی فولر (ADF) و کی.پی.اس.اس (KPSS)) و آزمون ریشه واحد با تناب و فصلی و نیمسالانه (آزمون HEGY) پرداخته شد. نتایج آزمون‌های مذکور (پیوست مقاله

بیانگر آن است که تمامی متغیرها فاقد هر گونه ریشه واحد با تناوب فصلی و نیمسالانه بوده ولیکن دارای ریشه واحد غیرفصلی می‌باشند. به گونه‌ای که، اگر  $z_{i,t}$  سری‌های غیرتبدیلی اصلی<sup>۱۸</sup> باشد: ۱- بدون تبدیل (سطح)،  $x_{i,t} = z_{i,t}$ ؛ ۲- با یک مرتبه تفاضل‌گیری  $x_{i,t} = z_{i,t} - z_{i,t-1}$ ؛ ۳- با دو مرتبه تفاضل‌گیری  $x_{i,t} = z_{i,t} - z_{i,t-2}$ ؛ ۴- لگاریتم  $x_{i,t} = \ln z_{i,t}$ ؛ ۵- لگاریتم با یک مرتبه تفاضل‌گیری  $x_{i,t} = \ln z_{i,t} - \ln z_{i,t-1}$ ؛ ۶- لگاریتم با دو مرتبه تفاضل‌گیری  $x_{i,t} = \ln z_{i,t} - \ln z_{i,t-2}$ . در نهایت تمام متغیرها با تفاضل از میانگین و تقسیم بر انحراف معیار، استاندارسازی شده‌اند. فهرست کامل متغیرها به همراه درجه ایستایی آنها در پیوست مقاله ارائه شده است.

از تحلیل مؤلفه‌های اساسی برای استخراج عوامل با استفاده از تمامی متغیرها در هر بلوک استفاده شده است. علاوه بر این، وقفه‌های هر مدل با استفاده از BIC تعیین شده‌اند. همانند مطالعه کوپ و کوروبلیس (۲۰۱۲) پیش‌بینی با سه افق در نظرگرفته شده است: افق کوتاه‌مدت یعنی یک فصل جلوتر ( $h = 1$ )، افق میان‌مدت یعنی چهار فصل جلوتر ( $h = 4$ ) و افق بلندمدت یعنی هشت فصل جلوتر ( $h = 8$ ) .

## ۵- ارزیابی عملکرد پیش‌بینی رویکردهای DMA/DMS

به منظور برآورد مدل‌های DMA/DMS ابتدا یک مدل بلوکی عاملی پویا به صورت معادله (۷) در نظرگرفته می‌شود:

$$y_t = \rho(L)y_t + \sum_{b=1}^B \beta^{(b)}(L)f_t^{(b)} + \varepsilon_t, \quad (7)$$

معادله بالا با اضافه نمودن تغییر زمانی در ضرایب به صورت زیر فرض می‌شود:

<sup>18</sup> original untransformed series

$$y_t = \rho_t(L)y_t + \sum_{b=1}^B \beta_t^{(b)}(L)f_t^{(b)} + \varepsilon_t, \quad (8)$$

$$\theta_{t+1} = \theta_t + \eta_t \quad (9)$$

به طوری که  $f_t^{(b)}$  for  $b=1, \dots, B$  نشان‌دهنده عامل استخراج‌شده از b امین بلوک متغیرهای پیش‌بینی‌کننده و  $\theta_t$  برداری شامل تمام ضرایب در  $(\rho_t(L))$  و  $\beta_t^{(b)}$  است. بنابراین تمام مدل‌ها بر طبق معادله شامل وقفه‌های متغیر وابسته، عوامل هر بلوک همچنین وقفه‌های این عوامل هستند. همان‌طور که مطرح شد، عامل‌ها از طریق روش مؤلفه‌های اساسی<sup>۱۹</sup> استخراج می‌شوند. اولین عامل برای هر بلوک استخراج و این عامل و وقفه اول آن ( $p_f = 1$ ) به عنوان متغیرهای پیش‌بینی‌کننده بالقوه در نظر گرفته می‌شود و همچنین یک وقفه ( $m_y = 1$ ) از متغیر وابسته و عرض از مبدأ منظور می‌شود. این استراتژی منجر به پیش‌بینی‌کننده بالقوه و  $m_x = 2$  مدل می‌شود. با در نظر گرفتن فروض ذیل، تعداد مدل‌ها کاهش می‌یابند: ۱) تمام مدل‌ها حاوی عرض از مبدأ و وقفه‌های متغیر وابسته هستند و ۲) در مدل‌های موردنظر بایستی هم عامل و هم وقفه آن حضور داشته باشند، در غیر این صورت مدل مورد نظر حذف می‌شود. با این فرضیات تعداد مدل‌ها کاهش می‌یابد. با این فرضیات و در نظر گرفتن نه بلوک عاملی،  $2^9$  مدل (۵۱۲ مدل ممکن) در هر لحظه از زمان وجود دارد. همانند مطالعات صورت گرفته در این زمینه، مدل‌های DMA/DMS با استفاده از عوامل فراموش شده متفاوت برای  $\alpha$  و  $\lambda$  به منظور بررسی حساسیت نتایج به تغییر در عوامل فراموش شده به شرح زیر در نظر گرفته شد:

- DMA1/DMS1:TVP\_AR(1)\_XDMA/DMS ( $\alpha = \lambda = 0.99$ )
- DMA2/DMS2:TVP\_AR(1)\_X DMA/DMS ( $\alpha = \lambda = 0.95$ )
- DMA3/DMS3: TVP\_AR(1)\_X DMA/DMS ( $\alpha = \lambda = 0.9$ )

که به عنوان مثال در آن منظور از مدل TVP\_AR(1)\_X DMA، مدل حاوی یک وقفه متغیر وابسته ((AR(1)) به همراه نه بلوک عاملی (X-) می‌باشد و علاوه بر این ضرایب مدل در طول زمان تغییر خواهد کرد(TVP). هر چه  $\lambda$  به یک نزدیکتر باشد، ثبات

<sup>19</sup> Principal Components

بیشتری در ضرایب یک مدل معین در طول زمان وجود دارد. هر چه  $\alpha$  به یک نزدیک‌تر باشد، ثبات بیشتری در ترکیب یک مدل معین در طول زمان وجود دارد. پیش‌بینی‌ها با استفاده از DMA و DMS بصورت زیر می‌باشد:

$$DMA: y_{t+h/t}^f = \sum_{k=1}^K \pi_{t+h/t,k} z_{t+h}^{(k)} \hat{\theta}_t^{(k)} \quad \text{with } k = 1, \dots, K$$

$$DMS: y_{t+h/t}^f = \underset{\arg(k)}{\operatorname{Max}} \left\{ \pi_{t+h/t,k} \right\} z_{t+h}^{(k)} \hat{\theta}_t^{(k)} \quad \forall k = 1, \dots, K$$

علاوه بر این، رویکرد DMA بدون هیچ وزن فراموش شده‌ای بر ضرایب زمان متغیر ( $\lambda = 1$ ) در نظرگرفته شده است:

$$DMA~4: TVP\_AR(1)\_X~DMA \quad (\alpha = 0.95 \quad \lambda = 1)$$

$$DMA~5: TVP\_AR(1)\_X~DMA \quad (\alpha = 0.99 \quad \lambda = 1)$$

همانند مطالعه کوب و کوروبلیس (۲۰۱۲) و فیلیپو (۲۰۱۵)، روش‌های بالا با یک DMA که حالت خاصی از BMA با ( $\alpha = \lambda = 1$ ) است، مقایسه شد. BMA مدلی است که هیچ وزن فراموش شده‌ای بر احتمالات منتب به مدل ( $\alpha = 1$ ) و هیچ وزن فراموش شده‌ای بر ضرایب زمان متغیر ( $\lambda = 1$ ) ندارد. به عبارت دیگر، تمام خطاهای گذشته در بهروزرسانی ضرایب تخمینی و احتمالات پسین، بطور مساوی وزن داده شده‌اند. بنابراین:

$$BMA: \alpha = \lambda = 1$$

علاوه بر رویکردهای ارائه شده در بالا، پیش‌بینی تورم شاخص قیمت مصرف‌کننده با مدل‌های خودرگرسیون برداری بیزین (BVAR)، پارامتر متغیر در طول زمان TVP، خودرگرسیو AR(1) و OLS مقایسه شده‌اند:

۱- با استفاده از شش متغیر نرخ بیکاری، تولید ناخالص داخلی، نرخ ارز، قیمت نفت سنگین، شاخص کل بورس، نقدینگی مدل خودرگرسیون برداری بیزی (BVAR) به منظور پیش‌بینی

نرخ تورم مصرف‌کننده برآورد شد. به همین منظور از مدل BVAR با تابع پیشین، Minnesota استفاده شده است. انتخاب توابع پیشین همانند مطالعه کوپ و کوروبیلیس (۲۰۱۰) و بالیسلار و همکاران<sup>۲۰</sup> بوده است.

-۲- سپس از مدل‌های پارامتر متغیر در طول زمان TVP-AR(1) با عامل فراموش شده استفاده شد که در آن از شاخص قیمت مصرف‌کننده با وقهه به عنوان متغیر مستقل درنظر گرفته شده است. در این مطالعه از دو عامل فراموش شده  $\lambda = 0.99$  و  $\lambda = 0.95$  بهره گرفته شده است. به طوری که با عامل فراموش شده  $\lambda = 0.99$ ، ضرایب حرکت نسبتاً آرامی دارند که انتخاب این عامل فراموش شده همانند مطالعه کوپ و کوروبیلیس (۲۰۱۲)، فریرا و پالما (۲۰۱۵)؛ باونسیکا و مورتوب<sup>۲۱</sup> (۲۰۱۵) و ناصر و علائی (۲۰۱۸) می‌باشد و عامل فراموش شده  $\lambda = 0.95$  که در آن ضرایب دارای حرکت سریعی هستند که انتخاب این عامل فراموش شده همانند مطالعه کوپ و کوروبیلیس (۲۰۱۱، ۲۰۱۲) بوده است.

-۳- در نهایت از دو مدل AR(1) به روش OLS استفاده شده است. به طوری که در مدل AR(1)-X از تمام نه بلوک عاملی (X-) و وقهه متغیر وابسته (AR(1)) تشکیل شده و در مدل AR(1) تنها از وقهه متغیر وابسته همانند مطالعه کوپ و کوروبیلیس (۲۰۱۱، ۲۰۱۲) استفاده شده است.

#### ۵-۲- بررسی عملکرد پیش‌بینی

به منظور ارزیابی عملکرد پیش‌بینی از مربع میانگین خطای پیش‌بینی (MSFE)، قدرمطلق میانگین خطای پیش‌بینی (MAFE)، میانگین درصد قدرمطلق خطای پیش‌بینی (MAPE)، تورش خطای پیش‌بینی (Bias) و واریانس خطای پیش‌بینی (FEV) و مجموع لگاریتم احتمالات پیش‌بینی Log(PL) استفاده شده است.

#### جدول ۱ تا

جدول ۳ بیانگر آماره‌های خطای پیش‌بینی برای افق‌های پیش‌بینی یک فصل، چهار فصل و هشت فصل جلوتر می‌باشد. از نظر MAFE و MAPE (جدول ۱) بهترین پیش‌بینی‌ها

<sup>20</sup> Balcilar

<sup>21</sup> Buncica & Morettob

در افق‌های زمانی مختلف به ترتیب عبارتند از DMS3 و TVP1 در افق کوتاه‌مدت ( $h = 1$ ) ، DMA3 و DMA4 در افق میان‌مدت ( $h = 4$ ) و DMS3 در افق بلند‌مدت ( $h = 8$ ) .

جدول ۱. معیارهای عملکرد پیش‌بینی MAPE، MAFE در افق‌های پیش‌بینی مختلف مأخذ: محاسبات تحقیق

**Table 1.** Forecast performance MAFE, MAPE for h-step-ahead

Source: Research calculations

مدل	معیار	افق پیش‌بینی		
		۱	۴	۸
DMA1:TVP-AR-DMA ( $\alpha = \lambda = 0.99$ )	MAFE	۰/۳۸۴۱	۰/۳۹۱۵	۰/۳۹۲۶
	MAPE	۱/۷۳۷	۲/۰۸۶	۲/۰۹۳
DMA2:TVP-AR-DMA ( $\alpha = \lambda = 0.95$ )	MAFE	۰/۳۶۰۴	۰/۳۵۹۱	۰/۳۵۶۱
	MAPE	۱/۷۸۲	۲/۱۳	۱/۹۸۲
DMA3:TVP-AR-DMA ( $\alpha = \lambda = 0.9$ )	MAFE	۰/۳۳۴	۰/۳۲۶	۰/۳۲۹
	MAPE	۱/۶۴۲	۲/۱۷۵	۱/۹۸۱
DMS1:TVP-AR-DMS ( $\alpha = \lambda = 0.99$ )	MAFE	۰/۳۹۴	۰/۴۱۶۶	۰/۴۴۴۸
	MAPE	۱/۸۶۲۲	۲/۴۱۷۸	۲/۵۱۸۸
DMS2:TVP-AR-DMS ( $\alpha = \lambda = 0.95$ )	MAFE	۰/۳۴۷۸	۰/۳۶۱۷	۰/۳۶۹۸
	MAPE	۱/۶۳۹۳	۲/۶۳۲۵	۲/۴۰۵۵
DMS3:TVP-AR-DMS ( $\alpha = \lambda = 0.9$ )	MAFE	۰/۲۹۸۱	۰/۳۵۱۰	۰/۳۰۰۰
	MAPE	۱/۶۴۰۵	۲/۵۱۲۰	۱/۹۷۳۹
DMA4:TVP-AR-DMA ( $\alpha = 0.99, \lambda = 1$ )	MAFE	۰/۳۸۳۶	۰/۳۹۴۶	۰/۴۰۳۴
	MAPE	۱/۶۳۳۷	۱/۹۷۶۲	۲/۵۰۸۰
DMA5:TVP-AR-DMA ( $\alpha = 0.95, \lambda = 1$ )	MAFE	۰/۳۴۱۲	۰/۳۵۲۸	۰/۳۶۵۱
	MAPE	۱/۴۷۶۸	۲/۱۰۳۳	۱/۹۹۳۱
TVP-AR-BMA ( $\alpha = \lambda = 1$ )	MAFE	۰/۳۹۹۴	۰/۴۱۸۳	۰/۴۱۸۷
	MAPE	۱/۹۶۱۹	۲/۴۴۰۶	۲/۵۸۹۹
TVP1:TVP-AR ( $\lambda = 0.99$ )	MAFE	۰/۴۸۲۱	۰/۴۸۶۰	۰/۴۹۹۶
	MAPE	۱/۴۲۵۰	۶/۱۴۱۸	۲/۲۵۰۱
TVP2:TVP-AR ( $\lambda = 0.95$ )	MAFE	۰/۴۶۷۷	۰/۴۵۹۹	۰/۴۱۶۷
	MAPE	۱/۶۴۳۸	۵/۲۱۸۶	۱/۶۴۱۹
<i>BVAR – Minnesota</i>	MAFE	۱/۱۳۸	۱/۰۵۵۲	۱/۱۷۹۶
	MAPE	۶/۹۴۹۹	۲/۰۵۷۷	۴/۲۱۲۸
AR(1) – X(OLS)	MAFE	۰/۰۳۸۲	۰/۰۴۲۱	۰/۰۵۱۸
	MAPE	۲/۱۳۹۶	۳/۲۶۷۴	۲/۷۰۲۷
AR(1)(OLS)	MAFE	۰/۰۲۵۶	۰/۰۳۰۸	۰/۰۳۹۸
	MAPE	۲/۰۵۵	۳/۰۸۴۲	۲/۰۰۰۱

جدول ۲ ارائه‌دهنده MSFE و Bias و FEV می‌باشد. با توجه به نتایج بدست‌آمده در افق پیش‌بینی کوتاه‌مدت ( $h = 1$ ) مدل DMS3، در افق پیش‌بینی میان‌مدت ( $h = 4$ ) مدل DMS2 و در افق پیش‌بینی بلند‌مدت ( $h = 8$ ) از منظر MSFE و FEV مدل DMS3 و بر اساس Bias مدل PMSF2 بینه بوده‌اند.

جدول ۲. معیارهای عملکرد پیش‌بینی MSFE، Bias و FEV در افق‌های پیش‌بینی مختلف مأخذ: محاسبات تحقیق

**Table 2.** Forecast performance MSFE, Bias, FEV for h-step-ahead

Source: Research calculations

مدل	معیار	افق پیش‌بینی		
		۱	۴	۸
<i>DMA1 : TVP – AR – DMA</i> ( $\alpha = \lambda = 0.99$ )	MSFE	۰/۲۶۷۸	۰/۲۸۳۷	۰/۳۱۶۱
	Bias	۰/۰۶۶۶	۰/۰۲۰۱	۰/۰۰۸۶
	FEV	۰/۲۶۳۰	۰/۲۸۳۳	۰/۳۱۶۰
<i>DMA2 : TVP – AR – DMA</i> ( $\alpha = \lambda = 0.95$ )	MSFE	۰/۲۶۷۴	۰/۲۵۱۰	۰/۲۶۵۴
	Bias	-۰/۰۱۹	-۰/۰۰۹۵	-۰/۰۱۵۲
	FEV	۰/۲۶۷۱	۰/۲۶۱۹	۰/۲۶۵۲
<i>DMA3 : TVP – AR – DMA</i> ( $\alpha = \lambda = 0.9$ )	MSFE	۰/۲۲۶۲	۰/۲۳۰۷	۰/۲۴۴۶
	Bias	-۰/۰۱۸۷	-۰/۰۱۰۶	-۰/۰۰۸۹
	FEV	۰/۲۲۵۸	۰/۲۳۰۶	۰/۲۴۴۵
<i>DMS1 : TVP – AR – DMS</i> ( $\alpha = \lambda = 0.99$ )	MSFE	۰/۲۷۴۹	۰/۲۸۷۷	۰/۴۳۵۷
	Bias	۰/۰۸۵۸	۰/۰۲۳۱	-۰/۰۰۳۹
	FEV	۰/۲۶۷۸	۰/۲۸۷۱	۰/۴۳۵۷
<i>DMS2 : TVP – AR – DMS</i> ( $\alpha = \lambda = 0.95$ )	MSFE	۰/۲۰۲۴	۰/۰۲۰۵۶	۰/۲۲۱۸
	Bias	-۰/۰۱۱۷	-۰/۰۰۸۸	-۰/۰۰۵۴
	FEV	۰/۲۰۲۳	۰/۰۲۰۵۶	۰/۲۲۱۴
<i>DMS3 : TVP – AR – DMS</i> ( $\alpha = \lambda = 0.9$ )	MSFE	۰/۱۳۹۸	۰/۲۷۰۶	۰/۱۸۵۰
	Bias	-۰/۰۰۶۷	-۰/۰۶۱۴	-۰/۰۳۵۲
	FEV	۰/۱۳۹۸	۰/۲۶۶۸	۰/۱۸۳۸
<i>DMA4 : TVP – AR – DMA</i> ( $\alpha = 0.99, \lambda = 1$ )	MSFE	۰/۲۶۸۳	۰/۲۸۳۴	۰/۲۹۳۵
	Bias	۰/۰۵۳۵	۰/۰۲۴۰	۰/۰۳۱۱
	FEV	۰/۲۶۵۴	۰/۲۸۲۹	۰/۲۹۲۵
	MSFE	۰/۲۰۱۷	۰/۲۱۲	۰/۲۲۷۶

$DMA5 : TVP - AR - DMA(\alpha = 0.95, \lambda = 1)$	Bias	۰/۰۲۱	۰/۰۲۰۹	۰/۰۳۶۵
	FEV	۰/۲۰۱۲	۰/۲۰۹۸	۰/۲۲۶۳
	MSFE	۰/۲۹۳۵	۰/۳۲۳۲	۰/۳۱۹۴
$TVP - AR - BMA(\alpha = \lambda = 1)$	Bias	۰/۰۸۱۲	۰/۰۲۷۸	۰/۰۱۹۸
	FEV	۰/۲۸۶۹	۰/۳۱۲۴	۰/۳۱۹۰
	MSFE	۰/۶۱۳۷	۰/۵۷۹۱	۰/۶۰۵۵
$TVP1 : TVP - AR(\lambda = 0.99)$	Bias	-۰/۲۰۲۹	-۰/۱۸۳۲	-۰/۲۹۰۴
	FEV	۰/۵۷۲۶	۰/۵۴۵۶	۰/۵۲۱۱
	MSFE	۰/۶۰۵۹	۰/۵۶۹۲	۰/۵۴۹۶
$TVP2 : TVP - AR(\lambda = 0.95)$	Bias	-۰/۱۴۴	-۰/۱۲۸	-۰/۱۴۳۵
	FEV	۰/۵۸۶۲	۰/۵۵۲۹	۰/۵۲۹۰
	MSFE	۲/۱۰۵۳	۱/۱۳۹۸	۲/۴۰۲۱
$BVAR - Minnesota$	Bias	۰/۷۹	۰/۴۴۳۴	۰/۸۱۶۳
	FEV	۱/۴۸۱۲	۱/۶۴۳۲	۱/۷۳۵۸
	MSFE	۰/۵۹۵۶	۰/۶۰۶۰	۰/۶۲۴۴
$AR(1) - X(OLS)$	Bias	-۰/۰۶۰۷	-۰/۰۵۴۲	-۰/۰۶۰۵
	FEV	۰/۵۹۱۹	۰/۶۰۳۱	۰/۶۲۰۷
	MSFE	۰/۶۲۳۰	۰/۶۳۳	۰/۶۴۸۸
$AR(1)(OLS)$	Bias	-۰/۳۱۶۱	-۰/۳۱۰۲	-۰/۳۱۴۰
	FEV	۰/۵۲۳۱	۰/۵۳۶۷	۰/۵۵۰۳

در خصوص مقایسه مدل‌های TVP\_AR همان‌طور که مشاهده می‌شود مدل TVP1 بر اساس معیار FEV در تمامی افق‌های پیش‌بینی دارای عملکرد بهتری بوده و در افق پیش‌بینی کوتاه‌مدت بنا بر معیار MAPE مدل TVP1 دارای عملکرد بهتری بوده و لیکن در سایر معیارهای پیش‌بینی و تمامی افق‌های پیش‌بینی مورد بررسی، مدل TVP2 دارای عملکرد بهتری نسبت به مدل TVP1 بوده است. بنابراین زمانی که تغییرات زمانی بیشتری در پارامترها وجود دارد ( $\lambda = 0.95$ ، عملکرد پیش‌بینی بهتر از حالت ( $\lambda = 0.99$ ) می‌باشد. علاوه بر این، DMS و DMA همیشه دارای عملکرد بهتری نسبت به مدل BMA می‌باشد؛ این امر نشان می‌دهد که هر دوی تغییرات در پارامترها و مدل‌ها دارای عملکرد بهتری در پیش‌بینی هستند.

مدل BVAR تقریباً در تمامی افق‌های پیش‌بینی دارای ضعیف‌ترین عملکرد نسبت به سایر مدل‌های مورد استفاده بوده است. در خصوص مقایسه مدل‌های AR(1)-X OLS و AR(1)-X

OLS آن که در اکثر معیارها و افق‌های پیش‌بینی، مدل AR(1)-X OLS دارای عملکرد بهتری نسبت به OLS AR(1) بوده است. همان‌طور که مشاهده می‌شود DMA و DMS در تمامی افق‌های پیش‌بینی دارای بهترین عملکرد پیش‌بینی نسبت به سایر مدل‌ها هستند. بنابراین به نظر می‌رسد متوجه‌گیری یا گزینشی نمودن الگوی پویا با استفاده از برآورد دقیق مبتنی بر احتمال<sup>۲۲</sup> مدل‌های TVP با عوامل بلوکی، استراتژی بهینه‌ای است. از سویی دیگر، نتایج حاصل از MSFE، MAFE، MAPE، FEV و BIAS نسبت به احتمال‌های پیش‌بینی قوی نیستند و تفاوت‌هایی دارند. دلیل این امر آن است که این معیارها، تنها از پیش‌بینی‌های نقطه‌ای<sup>۲۳</sup> استفاده می‌کنند، در حالی که احتمال‌های پیش‌بینی از کل توزیع پیش‌بینی‌کننده استفاده می‌کنند. بنابراین با بررسی مدل‌های مبتنی بر DMA و DMS با استفاده از معیار LOG(PL) این نتیجه حاصل شد که در تمامی افق‌های پیش‌بینی مدل TVP-AR-DMS( $\alpha = \lambda = 0.9$ )

جدول<sup>۳</sup>. معیار عملکرد پیش‌بینی LOG(PL) در افق‌های پیش‌بینی مختلف  
مأخذ: محاسبات تحقیق

**Table ۳.** Forecast performance LOG(PL) for h-step-ahead

Source: Research calculations

مدل	افق پیش‌بینی		
	۱	۴	۸
TVP-AR-DMA( $\alpha = \lambda = 0.99$ )	-۶۶/۳۵	-۶۵/۸۱	-۶۱/۹۵
TVP-AR-DMA( $\alpha = \lambda = 0.95$ )	-۶۱/۸۷	-۶۱/۴۱	-۵۶/۳۷
TVP-AR-DMA( $\alpha = \lambda = 0.9$ )	-۶۰/۵۵	-۵۹/۴۷	-۵۶/۹۱
TVP-AR-DMS( $\alpha = \lambda = 0.99$ )	-۶۵/۶۷	-۶۵/۳	-۶۱/۴
TVP-AR-DMS( $\alpha = \lambda = 0.95$ )	-۴۹/۵۸	-۴۸/۷۷	-۴۷/۴۹
TVP-AR-DMS( $\alpha = \lambda = 0.9$ )	-۳۵/۴	-۳۹/۵۵	-۳۴/۱۱
TVP-AR-DMA( $\alpha = 0.99, \lambda = 1$ )	-۶۷/۱	-۶۶/۶۵	-۶۵/۷۳
TVP-AR-DMA( $\alpha = 0.95, \lambda = 1$ )	-۶۰/۷۲	-۶۰/۵۵	-۶۲/۶۰
TVP-AR-BMA( $\alpha = \lambda = 1$ )	-۷۰/۱۳	-۶۸/۹۵	-۶۷/۱۶

<sup>22</sup> likelihood-based estimation

<sup>23</sup> point forecasts

علاوه بر این، به منظور مقایسه صحت پیش‌بینی از آزمون دیبولد-ماریانو<sup>۲۴</sup> (۱۹۹۵) استفاده شد. این آزمون، قدرت پیش‌بینی را تحت فرض برابری قدرت پیش‌بینی دو مدل بررسی می‌کند. نتایج این آزمون در جدول زیر ارائه شده است.

**جدول ۴.** نتایج آزمون دیبولد-ماریانو  
مأخذ: محاسبات تحقیق

**Table 4.** results of Diebold-Mariano Test

Source: Research calculations

نتیجه	آماره	MSE معیار	فرض
عدم رد برابر بودن قدرت پیش‌بینی دو مدل	۰/۳۱۰۹ (۰/۷۵۵۹)	DMA( $\alpha = \lambda = 0.95$ ) دارای پیش‌بینی بهتری است	DMA( $\alpha = \lambda = 0.99$ ) در DMA( $\alpha = \lambda = 0.95$ ) مقابل
عدم رد برابر بودن قدرت پیش‌بینی دو مدل	۱/۶۴ (۰/۱۰۱۰)	DMA( $\alpha = \lambda = 0.9$ ) دارای پیش‌بینی بهتری است	DMA( $\alpha = \lambda = 0.99$ ) در DMA( $\alpha = \lambda = 0.9$ ) مقابل
رد برابر بودن قدرت پیش‌بینی دو مدل	۴/۳۶۷ (۰/۰۰۰)	DMA( $\alpha = \lambda = 0.9$ ) دارای پیش‌بینی بهتری است	DMA( $\alpha = \lambda = 0.95$ ) در DMA( $\alpha = \lambda = 0.9$ ) مقابل
رد برابر بودن قدرت پیش‌بینی دو مدل	۳/۳۷۴ (۰/۰۰۰)	DMS( $\alpha = \lambda = 0.95$ ) دارای پیش‌بینی بهتری است	DMS( $\alpha = \lambda = 0.99$ ) در مقابل DMS( $\alpha = \lambda = 0.95$ )
رد برابر بودن قدرت پیش‌بینی دو مدل	۷/۸۲ (۰/۰۰۰)	DMS( $\alpha = \lambda = 0.9$ ) دارای پیش‌بینی بهتری است	DMS( $\alpha = \lambda = 0.99$ ) در مقابل DMS( $\alpha = \lambda = 0.9$ )
رد برابر بودن قدرت پیش‌بینی دو مدل	۴/۲۴۵ (۰/۰۰۰)	DMS( $\alpha = \lambda = 0.9$ ) دارای پیش‌بینی بهتری است	DMS( $\alpha = \lambda = 0.95$ ) در DMS( $\alpha = \lambda = 0.9$ ) مقابل
عدم رد برابر بودن قدرت پیش‌بینی دو مدل	۱/۰۷۷ (۰/۲۸۱)	DMS( $\alpha = \lambda = 0.9$ ) دارای پیش‌بینی بهتری است	DMA( $\alpha = \lambda = 0.9$ ) در DMS( $\alpha = \lambda = 0.9$ ) مقابل
رد برابر بودن قدرت پیش‌بینی دو مدل	-۲/۹۲۵ (۰/۰۰۳)	DMS( $\alpha = \lambda = 0.9$ ) دارای پیش‌بینی بهتری است	DMS( $\alpha = \lambda = 0.9$ ) در DMA( $\alpha = 0.99, \lambda = 1$ ) مقابل
عدم رد برابر بودن قدرت پیش‌بینی دو مدل	-۱/۱۳۱ (۰/۲۵۷)	DMS( $\alpha = \lambda = 0.9$ ) دارای پیش‌بینی بهتری است	DMS( $\alpha = \lambda = 0.9$ ) در DMA( $\alpha = 0.95, \lambda = 1$ ) مقابل

<sup>24</sup> Diebold-Mariano

رد برابر بودن قدرت پیش‌بینی دو مدل	۳/۱۹۱ (۰/۰۰)	$DMA(\alpha = 0.95, \lambda = 1)$ دارای پیش‌بینی بهتری است	$DMA(\alpha = 0.99, \lambda = 1)$ $DMA(\alpha = 0.95, \lambda = 1)$
رد برابر بودن قدرت پیش‌بینی دو مدل	-۳/۴۷۶ (۰/۰۰۰)	$DMS(\alpha = \lambda = 0.9)$ دارای پیش‌بینی بهتری است	$DMS(\alpha = \lambda = 0.9)$ $BMA(\alpha = \lambda = 1)$
رد برابر بودن قدرت پیش‌بینی دو مدل	-۶/۷۴ (۰/۰۰۰)	$DMS(\alpha = \lambda = 0.9)$ دارای پیش‌بینی بهتری است	$DMS(\alpha = \lambda = 0.9)$ $TVP-AR(\lambda = 0.99)$
رد برابر بودن قدرت پیش‌بینی دو مدل	-۶/۹۳۹ (۰/۰۰۰)	$DMS(\alpha = \lambda = 0.9)$ دارای پیش‌بینی بهتری است	$DMS(\alpha = \lambda = 0.9)$ $TVP-AR(\lambda = 0.95)$
رد برابر بودن قدرت پیش‌بینی دو مدل	-۳/۱۷۵ (۰/۰۰)	$DMS(\alpha = \lambda = 0.9)$ دارای پیش‌بینی بهتری است	$DMS(\alpha = \lambda = 0.9)$ BVAR
رد برابر بودن قدرت پیش‌بینی دو مدل	-۳/۱۷۸ (۰/۰۰)	$DMS(\alpha = \lambda = 0.9)$ دارای پیش‌بینی بهتری است	$DMS(\alpha = \lambda = 0.9)$ $AR(1)-X(OLS)$
رد برابر بودن قدرت پیش‌بینی دو مدل	-۴/۷۵۶ (۰/۰۰۰)	$DMS(\alpha = \lambda = 0.9)$ دارای پیش‌بینی بهتری است	$DMS(\alpha = \lambda = 0.9)$ $AR(1)(OLS)$
رد برابر بودن قدرت پیش‌بینی دو مدل	-۳/۲۹۴ (۰/۰۰)	$AR(1)-X(OLS)$ دارای پیش‌بینی بهتری است	$AR(1)-X(OLS)$ $AR(1)(OLS)$

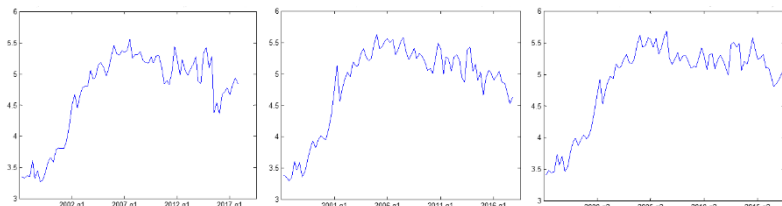
با توجه به نتایج بدست‌آمده از آزمون دیبولد-ماریانو در میان مدل‌های DMA با  $DMA(\alpha = \lambda = 0.9)$  دارای پیش‌بینی بهتری است و در میان مدل‌های DMS با  $DMS(\alpha = \lambda = 0.9)$  دارای پیش‌بینی بهتری است. با مقایسه مدل  $DMA(\alpha = \lambda = 0.9)$  و  $DMS(\alpha = \lambda = 0.9)$  مدل  $DMS(\alpha = \lambda = 0.9)$  از پیش‌بینی بهتری برخوردار است. مدل  $DMS(\alpha = \lambda = 0.9)$  ، مدل  $DMS(\alpha = \lambda = 0.9)$  از پیش‌بینی بهتری برخوردار است. مقایسه مدل‌های  $DMA(\alpha = 0.99, \lambda = 1)$  و  $DMA(\alpha = 0.95, \lambda = 1)$  با  $DMA(\alpha = 0.95, \lambda = 1)$  دارای پیش‌بینی بهتری است و مقایسه آن با مدل  $DMS(\alpha = \lambda = 0.9)$  نشان‌دهنده بهتر بودن عملکرد مدل  $DMS(\alpha = \lambda = 0.9)$  می‌باشد. مقایسه مدل‌های TVP-AR( $\lambda = 0.99$ ) از عملکرد بهتری برخوردار بوده و در مقایسه این مدل با  $DMS(\alpha = \lambda = 0.9)$  مدل DMS دارای پیش‌بینی بهتری بوده است. در نهایت مقایسه مدل  $DMS(\alpha = \lambda = 0.9)$  با مدل‌های  $AR(1)-X(OLS)$  و  $AR(1)(OLS)$  نیز نشان‌داد که مدل DMS از عملکرد بهتری برخوردار بوده است. بنابراین آزمون دیبولد-ماریانو نیز بر عملکرد بهتر مدل  $DMS(\alpha = \lambda = 0.9)$  تاکید نموده است.

همان‌طور که مطرح شد از میان مدل‌های پیش‌بینی، تنها DMA و DMS، اجازه تغییر مدل‌های پیش‌بینی را در طول زمان می‌دهند. با توجه به تعداد بسیار زیاد مدل‌ها (۵۱۲ مدل) نمی‌توان نتایج را برای هر مدل ارائه نمود. اگرچه می‌توان ۹ بلوک عاملی را به طور بالقوه انتخاب نمود، ولیکن به علت اصل صرفه‌جویی در اکثر موقع تعداد کمتری بلوک به عنوان وزن در مدل DMA/DMS استفاده می‌شوند. اگر  $K$  به عنوان تعداد بلوک‌های عاملی در مدل  $K$  در نظر گرفته شود، می‌توان تعداد بلوک‌های عاملی متوسط یا مورد انتظار

$$E(Size_t) = \sum_{k=1}^K \pi_{t|t-1,k} Size_k$$

استفاده شده در DMA/DMS در زمان  $t$  را به صورت

در نظر گرفت. نمودار ۱ ارائه‌دهنده متوسط تعداد بلوک‌های عاملی در هر پیش‌بینی در هر لحظه از زمان می‌باشد. همان‌طور که در نمودار مشاهده می‌شود، مدل پیش‌بینی در طول زمان تغییر می‌کند و علاوه بر این، اصل صرفه‌جویی نیز در این مدل‌ها رعایت شده و همچنان، اصل صرفه‌جویی در داده‌های ابتدای دوره بیشتر مشهود است.



نمودار ۱. متوسط تعداد بلوک‌های عاملی پیش‌بینی کننده در هر تمرین پیش‌بینی  
مأخذ: محاسبات تحقیق

**Figure 1.** Expected number of predictors in each forecasting exercise

Source: Research calculations

همان‌طور که مطرح شد در روش DMS، مدلی که دارای حداکثر احتمال است انتخاب می‌شود، به‌طوری که در این مطالعه در هر دوره زمانی از بین ۵۱۲ مدل ممکن، یک مدل به عنوان مدل بهینه برای پیش‌بینی متغیر مدنظر انتخاب می‌شود. بر این اساس، جدول ۵ بیانگر معادله‌هایی است که در بردارنده بیشترین سهم برای پیش‌بینی نرخ تورم به همراه دوره زمانی بکارگیری این معادلات و همین‌طور بلوک‌های تشکیل‌دهنده آنها می‌باشند.

بر اساس نتایج بدستآمده در افق پیش‌بینی یک فصل جلوتر، معادله‌ای که در بردارنده بلوک‌های پولی و ستاده است با سهم  $\frac{13}{3}$  درصد در دوره‌های زمانی مندرج در جدول زیر، بیشترین میزان بکارگیری را در پیش‌بینی نرخ تورم داشته است. بعد از آن معادله‌ای که دارای بلوک‌های تقاضا، پولی، قیمتی، مالی و خارجی است با سهم  $\frac{13}{3}$  درصد، سپس معادله‌ای که در بردارنده بلوک‌های تقاضا، پولی، قیمتی، خارجی و ستاده است با سهم  $\frac{12}{2}$  درصد و در نهایت معادله‌ای که در بردارنده بلوک‌های تقاضا، نیروی کار، پولی، قیمتی، انرژی و خارجی است با سهم  $\frac{10}{1}$  درصد قرار دارند. این مدل‌ها به عنوان مدل‌هایی که در دوره زمانی مورد مطالعه بیشترین میزان استفاده را در تشکیل بهترین مدل (DMS) داشته‌اند (بالای ۱۰ درصد)، مطرح می‌شوند. علاوه بر این، در این افق پیش‌بینی به ترتیب بلوک‌های پولی (۸۷ مرتبه)، قیمتی (۷۰ مرتبه)، خارجی (۴۹ مرتبه)، تقاضا (۴۶ مرتبه)، ستاده (۳۸ مرتبه)، انرژی (۳۷ مرتبه)، مالی (۳۶ مرتبه)، نیروی کار (۳۲ مرتبه) و دولت (۱۳ مرتبه) دارای بیشترین میزان استفاده در طول کل دوره مورد پیش‌بینی بوده‌اند.

در افق پیش‌بینی چهار فصل جلوتر، مدلی که حاوی بلوک‌های تقاضا، پولی، قیمتی، خارجی و ستاده است با  $\frac{20}{7}$  درصد بیشترین میزان استفاده را در پیش‌بینی نرخ تورم داشته است. بعد از آن مدلی که حاوی بلوک‌های تقاضا، نیروی کار، پولی، قیمتی، انرژی و خارجی است با  $\frac{13}{8}$  درصد قرار دارد. سپس مدلی که شامل بلوک‌های پولی و ستاده با  $\frac{12}{6}$  درصد و همین طور مدلی که در بردارنده بلوک‌های تقاضا، پولی، قیمتی، مالی و خارجی هستند با  $\frac{11}{5}$  درصد به عنوان مدل‌هایی که در دوره زمانی مورد مطالعه بیشترین میزان استفاده را در تشکیل بهترین مدل داشته‌اند (بالای ۱۰ درصد)، مطرح می‌شوند.

علاوه بر این، در این افق پیش‌بینی بطور کلی بلوک پولی (۸۵ مرتبه)، قیمتی (۷۲ مرتبه)، تقاضا (۵۲ مرتبه)، خارجی (۴۹ مرتبه)، ستاده (۳۵ مرتبه)، انرژی (۳۰ مرتبه)، نیروی کار (۲۸ مرتبه)، مالی (۲۸ مرتبه) و دولت (۹ مرتبه) به ترتیب بیشترین میزان استفاده را در پیش‌بینی نرخ تورم در طول دوره مورد بررسی داشته‌اند.

در افق پیش‌بینی هشت فصل جلوتر، مدلی که حاوی بلوک‌های پولی، قیمتی، خارجی و ستاده است با  $\frac{34}{9}$  درصد بیشترین میزان استفاده را در پیش‌بینی نرخ تورم داشته و بعد از آن مدلی که حاوی بلوک‌های پولی و ستاده است با  $\frac{15}{7}$  درصد قرار دارد. این مدل‌ها به عنوان مدل‌هایی که در دوره زمانی مورد مطالعه بیشترین میزان استفاده را در تشکیل بهترین مدل داشته‌اند (بالای ۱۰ درصد)، مطرح می‌شوند. بطور کلی در این افق

پیش‌بینی، بلوک‌های پولی (۸۱ مرتبه)، قیمتی (۶۱ مرتبه)، ستاده (۵۲ مرتبه)، خارجی (۴۸ مرتبه)، نیروی کار (۳۲ مرتبه)، انرژی (۲۸ مرتبه)، تقاضا (۱۷ مرتبه)، دولت (۷ مرتبه) و مالی (۶ مرتبه) بیشترین میزان استفاده را در طول دوره داشته‌اند.

جدول ۵. بلوک‌های پیش‌بینی کننده در بهترین مدل در دوره‌های زمانی و افق‌های پیش‌بینی مختلف  
مأخذ: محاسبات تحقیق

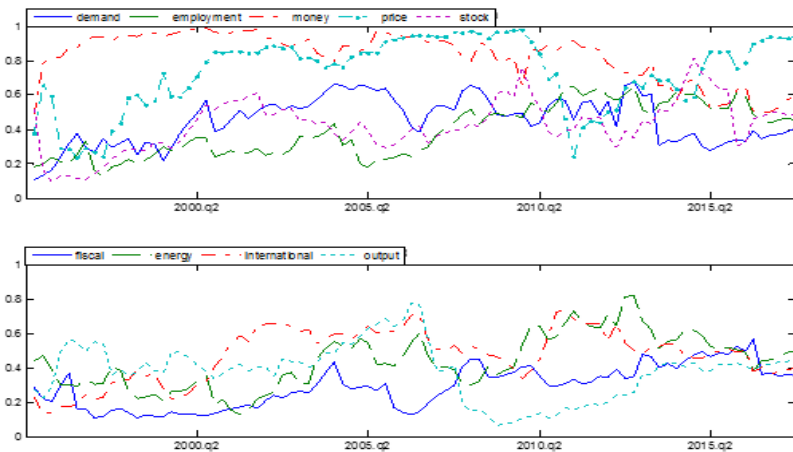
**Table 5.** Predictors composing the best model on different forecast horizons

Source: Research calculations

افق پیش‌بینی	دوره زمانی	بلوک‌های بکارگرفته شده در بهترین مدل	سهم
$h=1$	$1375q2; 1377q4; 1376q1-1377q1; 1377q3-q4; 1378q3-1379q1$	پولی، ستاده	% ۱۳/۳
	$1380q1-1381q3; 1382q1-q3; 1388q2-1388q3$	تقاضا، پولی، قیمتی، مالی، خارجی	% ۱۳/۳
	$1381q4; 1383q3-q4; 1384q2-1385q3; 1386q2-q4$	تقاضا، پولی، قیمتی، خارجی، ستاده	% ۱۲/۲
	$1387q4; 1389q2-q3; 1390q1; 1390q3-1391q1; 1391q4-1392q1$	تقاضا، نیروی کار، پولی، قیمتی، انرژی، خارجی	۱۰%
$h=4$	$1382q1-1383q1; 1383q4; 1384q2-1386q4; 1387q3$	تقاضا، پولی، قیمتی، خارجی، ستاده	% ۲۰/۷
	$1388q3; 1390q2-1392q4$	تقاضا، نیروی کار، پولی، قیمتی، انرژی، خارجی	۱۳,۸٪
$h=8$	$1376q3-1377q2; 1378q2-1379q4$	پولی، ستاده	% ۱۲/۶
	$1380q4-1381q4; 1383q2; 1387q1-q3; 1387q4-1388q1$	تقاضا، پولی، قیمتی، مالی، خارجی	% ۱۱/۵
	$1381q1; 1381q4-1388q3$	پولی، قیمتی، خارجی، ستاده	% ۳۴/۹
	$1377q1; 1377q3-1378q2; 1379q1-1380q4$	پولی، ستاده	% ۱۵/۷

همان‌طورکه مطرح شد، رافتري و همکاران (۲۰۰۷) DMA با احتمالات زمان متغیر مرتبط با هر مدل را بیان نمودند (به عنوان مثال،  $\pi_{t|t-1,k}$  برای  $t = 1, \dots, T$  و  $k = 1, \dots, K$ ).

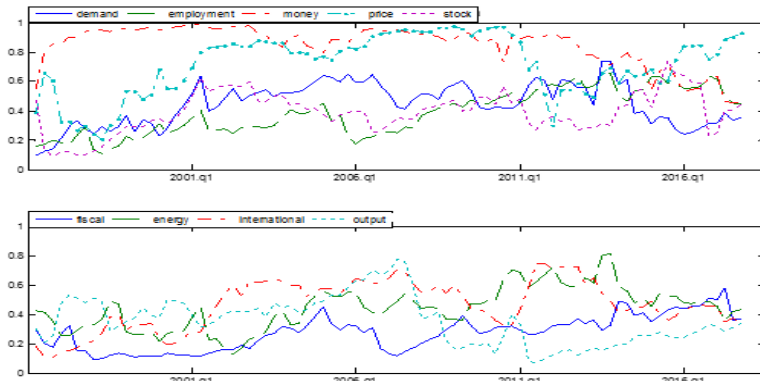
برای  $b=1,\dots,B$  می‌توان  $\sum_{k \in b} \pi_{t|t-1,k}$  را محاسبه نمود که به معنی مجموع مدل‌هایی است که حاوی  $b$  این بلوک عاملی است. نمودار زیر بیانگر این احتمال‌ها برای ۹ بلوک عاملی در افق‌های پیش‌بینی مختلف است. اگر خطوط این نمودارها برای هر بلوک عاملی دقیقاً برابر با یک باشد، روش DMA تنها مدل‌هایی که حاوی این بلوک عاملی باشد را برای پیش‌بینی استفاده می‌کند (بنابراین، این بلوک عاملی یک پیش‌بینی کننده با اهمیت محسوب می‌شود). چنانچه خطوط این نمودارها برای هر بلوک عاملی دقیقاً برابر با صفر باشد، روش DMA بطور کامل کلیه مدل‌های حاوی این بلوک عاملی را در پیش‌بینی حذف می‌کند. خطوطی که بین صفر و یک قرار می‌گیرند دارای یک تفسیر میانی<sup>۲۵</sup> می‌باشند. همان‌طور که در نمودار مشاهده می‌شود، بلوک‌هایی وجود دارند که به‌وضوح متغیرهای پیش‌بینی کننده مهمی هستند و نزدیک به یک هستند. این امر به‌خصوص در مورد بلوک‌های پولی و قیمتی مشهود می‌باشد.



نمودار ۲. احتمال کل از مدل‌های حاوی هر بلوک عاملی در افق پیش‌بینی یک فصل جلوتر ( $h=1$ )

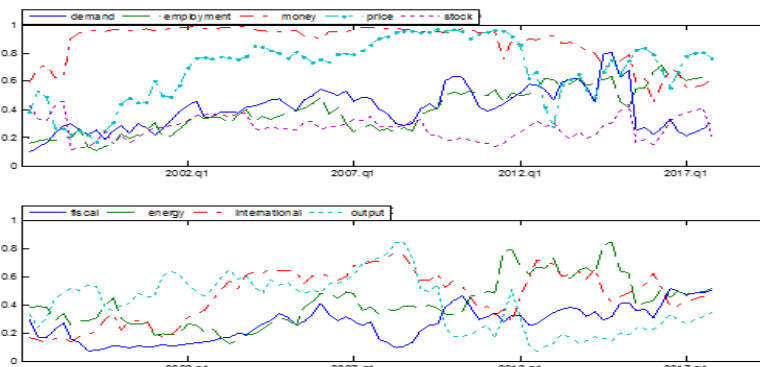
Figure 2. Total probability of models which contain each factor block( $h=1$ )

<sup>25</sup> intermediate interpretation



نمودار ۳. احتمال کل از مدل‌های حاوی هر بلوک عاملی در افق پیش‌بینی چهار فصل جلوتر ( $h=4$ )

Figure 3. Total probability of models which contain each factor block( $h=4$ )



نمودار ۴. احتمال کل از مدل‌های حاوی هر بلوک عاملی در افق پیش‌بینی هشت فصل جلوتر ( $h=8$ )

ماخذ: محاسبات تحقیق

Figure 4. Total probability of models which contain each factor block( $h=8$ )

Source: Research calculations

همان‌طورکه نشان داده شد، در طول زمان شاهد تغییرات زیادی در متغیرهای پیش‌بینی کننده تورم هستیم که چنین تغییراتی را نمی‌توان با استفاده از روش‌های پیش‌بینی یا مدل‌های نظری مرسوم، مدل‌سازی نمود. به عنوان مثال، منحنی فیلیپس استاندارد مطرح می‌کند که نرخ بیکاری همیشه یک متغیر پیش‌بینی کننده خوب برای تورم است. اگر این بحث صحیح باشد، بلوک نیروی کار همیشه یک پیش‌بینی کننده خوب برای تورم است و در

نتیجه بایستی احتمال کل مدل‌هایی که حاوی بلوك نیروی کار هستند در نمودارهای فوق نزدیک به یک بود. در حالیکه نتایج این مقاله چنین امری را نشان نمی‌دهد. نتایج نشان می‌دهد که بلوك پولی، بلوك مهمی برای پیش‌بینی نرخ تورم ایران بوده است. از منظر ادبیات نظری این نتیجه با مدل‌های نیوکینزین‌ها مطابقت دارد، جایی که نرخ تورم در وضعیت پایدار<sup>۲۶</sup> با استفاده از نرخ رشد پول تعیین می‌شود. هنگام پیش‌بینی تورم تقریباً تمام بلوك‌های عاملی نقش قابل توجهی دارند و تنها بلوك دولت است که کمترین اثرگذاری را داشته است.

#### ۶- نتیجه‌گیری

نرخ تورم بالا در ایران یکی از مهم‌ترین مشکلات اقتصاد ایران بوده که موجب عدم ثبات و نااطمینانی در فضای کلان اقتصادی شده است. بنابراین، مطالعه و بررسی انواع مدل‌های پیش‌بینی به منظور دستیابی به مدلی برتر نسبت به سایر رویکردها از اهمیت زیادی در ادبیات تجربی اقتصاد ایران برخوردار است. این مقاله پیش‌بینی نرخ تورم شاخص قیمت مصرف‌کننده در ایران را با استفاده از داده‌های فصلی طی دوره ۱۳۶۹ تا ۱۳۹۶ بر اساس مجموعه‌ای متشکل از متغیرهای پیش‌بینی‌کننده بسیاری با روش‌های گزینشی‌نمودن (DMS) و متوسط‌گیری الگوی پویا (DMA) مورد بررسی قرار داد. مدل‌های DMA و DMS نسبت به سایر مدل‌های پیش‌بینی دارای مزیت‌هایی است از جمله اینکه این مدل‌ها اجازه می‌دهند ضرایب در طول زمان تغییر کنند همچنین اجازه می‌دهند که متغیرهای پیش‌بینی‌کننده مورد استفاده در پیش‌بینی و مدل‌ها در طول زمان تغییر کنند.

نتایج نشان داد که پیش‌بینی مدل‌های گزینشی‌نمودن (DMS) و متوسط‌گیری الگوی پویا (DMA) نسبت به سایر روش‌های پیش‌بینی سنتی دارای عملکرد کارایی برای نرخ تورم ایران بوده‌اند. علاوه بر این استفاده از بلوك عاملی نشان داد که عوامل پیش‌بینی‌کننده در طول زمان چهار تغییر می‌شوند. یافته‌ها حاکی از آن است که در تمامی افق‌های پیش‌بینی، بلوك‌های پولی و قیمتی دارای بیشترین تعداد در استفاده از مدل بهینه در طول زمان بوده و کمترین تعداد نیز به بلوك دولت اختصاص داشته است. در مجموع می‌توان گفت مدل DMA میانگین‌گیری از تعداد زیادی مدل است و تنها از یک بلوك عاملی استفاده نمی‌کند

<sup>26</sup> Steady-state

(همچنین بلوك عاملی بـی ربطی نـیز وجود نـدارد) و اـین اـمر مـهمـترین وـیـژـگـی استفادـه اـز DMA/DMS است.

**Acknowledgments:** Acknowledgments may be made to individuals or institutions that have made an important contribution.

**Conflict of Interest:** The authors declare no conflict of interest.

**Funding:** The authors received no financial support for the research, authorship, and publication of this article.

## Reference

- Ang, A., Bekaert, G., & Wei, M. (2007). Do Macro Variables, Asset Markets, or Surveys Forecast Inflation Better? *Journal of Monetary Economics*, 54, 1163–1212.
- Atkeson, A., & Ohanian, L. E. (2001). Are Phillips curves useful for forecasting inflation? *Federal Reserve Bank of Minneapolis Quarterly Review*, 25(1), 2–11.
- Avramov, D. (2002). Stock Return Predictability and Model Uncertainty, *Journal of Financial Economics*, 64, 423–58.
- Aye, G., Gupta, R., Hammoudeh, S.H., & Kim, W.J. (2015). Forecasting the Price of Gold Using Dynamic Model Averaging, University of Pretoria, *Department of Economics Working Paper Series*.
- Bayani, O. & Mohammadi, T. (2019). Factors Affecting Financial Crises: The Bayesian Model Averaging, *Quarterly Journal of Quantitative Economics (JQE)*, 16(2), 145-180. Available at: [https://jqe.scu.ac.ir/article\\_14275.html?lang=en](https://jqe.scu.ac.ir/article_14275.html?lang=en) [In Persian]
- Balcilar, R., Gupta, R., Eyden, R.V., Thompson, K., & Majumdar, A. (2018). Comparing the forecasting ability of financial conditions indices: The case of South Africa. *The Quarterly Review of Economics and Finance*, 69(C), 245-259.
- Barsoum, F., & Stankiewicz, S. (2015). Forecasting GDP growth using mixed-frequency models with switching regimes. *International Journal of Forecasting*, 31(1), 33-50.

- Belmonte, M., & Koop, G. (2014). Model Switching and Model Averaging in Time-Varying Parameter Regression Models. in Ivan Jeliazkov, Dale J. Poirier (ed.) Bayesian Model Comparison (Advances in Econometrics, Volume (34) Emerald Group Publishing Limited, 45 – 69.
- Bork, L., & Møller, S. V. (2015). Forecasting house prices in the 50 states using Dynamic Model Averaging and Dynamic Model Selection. *International Journal of Forecasting*, 31(1), 63-78.
- Brave, S., & Fisher, J. (2004). In search of a robust inflation forecast. *Federal Reserve Bank of Chicago, Economic Perspectives*, 28(4), 11–31.
- Buncic. D. & G-M. Frey. (2012). Forecasting commodity currencies with dynamic Bayesian Models. Working paper, Institute of Mathematics and Statistics, University of St Gallen, Switzerland.
- Buncic, D., & Moretto, C. (2015). Forecasting copper prices with dynamic averaging and selection models. *North American Journal of Economics and Finance*, 33, 1–38.
- Carnot N., Koen, V., & Tissot, B. (2005). *Economic forecasting*, Palgrave Macmillan.
- Canova, F. (2007). G-7 inflation forecasts: random walk, Phillips Curve or what else? *Macroeconomic Dynamics*, 11, 1–30.
- Cechetti, SG. (1995). Inflation indicators and inflation policy. Working paper 5161, NBER.
- Cechetti, S., Chu, R., Steindel C. (2000). The unreliability of inflation indicators. *Current Issues in Economics and Finance*, 6(4), 1–6.
- Cogley, T. & Sargent, T. (2005). Drifts and volatilities: monetary policies and outcomes in The post WWII U.S., *Review of Economic Dynamics*, 8, 262–302.
- Cogley, T., Morozov, S. & Sargent, T. (2005). Bayesian fan charts for U.K. inflation:Forecasting and sources of uncertainty in an evolving monetary system. *Journal of Economic Dynamics and Control*, 29, 1893–1925.
- Cremers, K. (2002). Stock Return Predictability: A Bayesian Model Selection Perspective. *Review of Financial Studies*, 15, 1223–1249.

- De Bruyn, R., Gupta, R., & van Eyden, R. (2013). Forecasting the rand–dollar and rand–pound exchange rates using dynamic model averaging. Working paper 2013-07, University of Pretoria.
- Dupasquier, C., & Ricketts, N. (1998). Non-linearities in the output–inflation relationship: some empirical results for Canada. Working paper 98-14, Bank of Canada.
- Elliott, G., & Timmermann, A. (Eds.). (2013). *Handbook of economic forecasting*. 2, Elsevier.
- Ferreira, D., & Palma, A. (2015). Forecasting Inflation with the Phillips Curve: A Dynamic Model Averaging Approach for Brazil. *Revista Brasileira de Economia*, 69(4), 451-465.
- Filippo, D.G. (2015). Dynamic Model Averaging and CPI Inflation Forecasts: A Comparison between the Euro Area and the United States. *Journal of Forecasting*, 34(8), 619–648.
- Fisher, J., Liu, C., & Zhou, R. (2002). When can we forecast inflation? *Economic Perspectives*, 26(1), 32–44.
- Grassi, S., & De Magistris, P.S. (2015). It's all about volatility (of volatility): Evidence from a two-factor stochastic volatility model. *Journal of Empirical Finance*, 60, 62-78.
- Groen, J., Paap, R., & Ravazzolo, F. (2010). Real-time Inflation Forecasting in a Changing World, Federal Reserve Bank of New York Staff Report Number 388.
- Gupta, R., Hammoudeh, SH., Kim, W.J. & Simo-Kengne, B.D. (2014). Forecasting China's foreign exchange reserves using dynamic model averaging: The roles of macroeconomic fundamentals, financial stress and economic uncertainty. *North American Journal of Economics and Finance*, 28, 170–189.
- Holden, K., Peel, D.A., & Thompson, J.L. (1999). *Economic forecasting: an introduction*, Cambridge University Press.
- Kim C-J., & Nelson CR. (1998). *State-Space Models with Regime-Switching: Classical and Gibbs-Sampling Approaches with Applications*. MIT Press: Cambridge, MA.

- Koop, G., & Potter, S. (2004). Forecasting in dynamic factor models using Bayesian model averaging. *The Econometrics Journal*, 7, 550–565.
- Koop, G., & Korobilis, D. (2011). UK macroeconomic forecasting with many predictors: Which models forecast best and when do they do so? *Economic Modelling*, 28, 2307–2318.
- Koop, G., & Korobilis, D. (2012). Forecasting Inflation Using Dynamic Model Averaging. *International Economic Review*, 53(3), 867-886.
- Koop, G., & Tole, L. (2012). Forecasting the European carbon market. *Journal of the Royal Statistical Society, Series A*, 176(3), 723–741.
- Lansing, KJ. (2002). Can the Phillips curve help forecast inflation? *Economic Letter No. 2002-29*, Federal Reserve Bank of San Francisco.
- Naser, H. & Alaali, F. (2018). Can Oil Prices Help Predict US Stock Market Returns: An Evidence Using a DMA Approach? *Empirical Economics*, 55(4), 1757-1777.
- Nicoletti, G., & Passaro, R. (2012). Sometimes it helps: the evolving predictive power of spreads on GDP dynamics. ECB working paper series 1447.
- Pesaran, M. H., & Timmermann, A. (2000). A Recursive Modelling Approach to Predicting UK Stock Returns. *The Economic Journal*, 110, 159–91.
- Primiceri, G. (2005). Time Varying Structural Autoregressions and Monetary Policy. *Review of Economic Studies*, 72, 821-852.
- Raftery, A., Karny, M., Andrysek. J., & Ettler, P. (2007). Online prediction under model uncertainty via dynamic model averaging: application to a cold rolling mill. Technical report, 525. Department of Statistics, University of Washington.
- Raftery, A., Karny, M., & Ettler, P. (2010). Online prediction under model uncertainty via dynamic model averaging: application to a cold rolling mill. *Technometrics*, 52(1), 52–66.
- Rahimpoor, A., Yarmohamadi, M., Chinipardaz, R. & Shadrokh, A. (2020). Modeling golden and dollar data by robust simulation-based estimation. *Quarterly Journal of Quantitative Economics (JQE)*, 17(1), 35-60. [https://jqe.scu.ac.ir/article\\_14619.html?lang=en](https://jqe.scu.ac.ir/article_14619.html?lang=en) [In Persian].

- Stock, J.H. & Watson, M.W. (1996). Evidence on Structural Instability in Macroeconomic Time Series Relations. *Journal of Business and Economic Statistics*, 14, 11-30.
- Stock, J.H. & Watson, M.W. (1999). Forecasting Inflation. *Journal of Monetary Economics*, 44, 293–335.
- Stock, J.H. & Watson, M.W. (2003). Forecasting output and inflation: the role of asset prices. *Journal of Economic Literature*, 41(3), 788–829.
- Stock, J.H. & Watson, M.W. (2007). Why has US inflation become harder to forecast? *Journal of Money, Credit, and Banking* 39(Suppl. 1), 3–33.
- Stock, J.H. & Watson, MW. (2008). Phillips Curve Inflation Forecasts, NBER Working Paper No. 14322.
- Tinbergen, J. (1939). *Business cycles in the United States of America: 1919-1932*. League of Nations.